

زمین‌شناسی، کانی‌شناسی و مطالعه میانبارهای سیال نهشته بروزنزاد روی در منطقه خارنگون، شمال خاوری بافق، ایران مرکزی

زهرا میریان^{۱*}، محمد لطفی^۲، امیرعلی طباخ شعبانی^۳، میرعلی اصغر مختاری^۴ و احسان حاج‌ملالی^۵

^۱دانشجوی کارشناسی ارشد، پژوهشکده علوم زمین، سازمان زمین‌شناسی و اکتشافات معدنی کشور، تهران، ایران

^۲دانشیار، دانشگاه آزاد اسلامی، واحد تهران شمال، تهران، ایران

^۳استادیار، گروه زمین‌شناسی دانشکده علوم، دانشگاه خوارزمی، تهران، ایران

^۴استادیار، گروه زمین‌شناسی، دانشکده علوم، دانشگاه زنجان، زنجان، ایران

^۵دانشجوی دکترا، دانشگاه آزاد اسلامی، واحد تهران شمال، تهران، ایران

تاریخ پذیرش: ۱۳۹۲/۰۲/۰۶

چکیده

منطقه خارنگون (Xârengun) در استان یزد، در فاصله ۱۸۵ کیلومتری خاور شهر یزد و ۶۵ کیلومتری شمال خاوری شهرستان بافق قرار دارد. کانی‌سازی در منطقه خارنگون در درون واحدهای سنگ‌آهکی و دولومیتی وابسته به سازند ریزو (معادل سازند سلطانیه)، به سن پر کامبرین بالای-کامبرین زیرین اتفاق افتاده است. ماده معدنی این نهشته در قالب کانی‌های اسمیت‌زونیت و همی مورفیت به صورت غیرهمزاد و به شکل چننه کران، بیشتر در مسیر لایبندی و لایمناسیون‌های سنگ میزبان کربناتی تشکیل شده است. بالاترین عیار روی در نمونه‌های برداشت شده از این منطقه، درصد ۳۶/۰۶ است و مطالعات ژئوشیمیایی گوای عدم همراهی قابل توجه سرب با روی در این پهنه کانه‌دار و تشکیل یک زون تک کانیایی Zn است. مطالعات حرارت سنجی میانبارهای سیال در نمونه‌های مربوط به این منطقه نشان‌دهنده نقش داشتن محلول‌های با مشاً جوی در تشکیل این ذخیره است. دمای همگن شدگی و شوری این میانبارهای، به ترتیب با مقادیر ۱۷۳°C و ۰/۲٪ wt % eque، با سیال‌های تشکیل دهنده ذخایر ابی ترمال مشابه است. با توجه به شواهد بدست آمده از مطالعات صحرایی، کانی‌شناسی، ژئوشیمیایی و میانبارهای سیال، کانی‌سازی موجود در این پهنه در زمرة نهشته‌های غیر‌سولفیدی سوپرژن روی، از نوع ترکیبی جانشینی در سنگ دیواره - جانشینی مستقیم قرار می‌گیرد.

Email: anonymous4830@gmail.com

*نویسنده مسئول: زهرا میریان

۱- پیش‌نوشتار

محدوده مورد مطالعه، در منطقه خارنگان (خارنگون در گویش محلی) و در دامنه کوه لاک خارنگون و بخشی از پایه کوه لاک ملا، میان طول‌های جغرافیایی ۱۲°۵۵' تا ۲۱°۵۵' خاوری و عرض‌های جغرافیایی ۴۰°۰' تا ۳۱°۱۱' شمالی قرار گرفته است. دسترسی به این منطقه از مسیر جاده آسفالتی بافق-بهایاد میسر است (شکل ۱). در حال حاضر مطالعات اکتشافی به منظور پی‌جویی ذخایر روی توسط بخش خصوصی در این منطقه در حال انجام است که نتیجه آن تهیه نهشته‌های زمین‌شناسی ۱:۵۰۰۰ و ۱:۲۰۰۰ محدوده‌ای است که کانی‌سازی زون خارنگون را نیز دربر می‌گیرد.

نهشته زون خارنگون به گروه نهشته‌های غیر‌سولفیدی بروزنزاد روی تعلق دارد. این دسته ذخایر در اثر قرارگیری یک نهشته سولفیدی Zn اولیه در معرض شرایط اکسیدان سطحی و در پی آن، اکسیداسیون و جانشینی مستقیم کانی‌های سولفیدی در بخش‌های بالای و هوازده توده معدنی به وجود می‌آیند (Hitzman et al., 2003). همچنین به دلیل واکنش پذیری بالای کربناتی با سیال‌های اسیدی، اکسیده و غنی از روی که از اکسیداسیون توده‌های سولفیدی اسفلاریت دار نشأت گرفته‌اند، ممکن است این نهشته‌ها در فاصله کمی دورتر از توده سولفیدی اولیه، به میزانی سنگ‌های کربناتی تشکیل شوند. این ذخایر در واقع گوسان‌های غنی از روی هستند که در آنها اسفلاریت (فاز سولفیدی) به کانی‌های کربناتی و سیلیکاتی روی (اسمیت‌زونیت و همی مورفیت) تبدیل شده است (Kelly, 1958).

تشکیل این نهشته‌ها به ابعاد و کانی‌شناسی نهشته اولیه، تغیرات عمودی سطح ایستابی، سرعت افت سطح ایستابی در طی بالا‌مدگی‌های زمین‌ساختی و شرایط خشک جوی و همچنین به تراکم شکستگی‌های سنگ دیواره بستگی دارد (Reichert & Borg, 2008). منشأ سولفیدهای اولیه در بیشتر نهشته‌های بروزنزاد

۲- روش مطالعه

در راستای انجام مطالعات حاضر، نمونه‌برداری از رخنمون‌های سنگی منطقه صورت پذیرفت. از واحدهای مختلف زون‌های دگرگسان شده و کانه‌دار که احتمال می‌رفت از نظر کانه‌زایی اهمیت پیشتری داشته باشد، تعداد بیشتری نمونه برداشت شد و از واحدهای سنگی که احتمال کانی‌سازی در آنها به نظر کمتر می‌آمد و یا فاقد دگرگسانی بودند، نمونه‌برداری با فواصل پیشتری انجام گرفت.

با شبیب زیاد رانده شده‌اند. دیگر گسل‌ها با شبیب کم و سیستم پرفشار، منطقه مورد بررسی را تحت تأثیر قرار داده‌اند که در منطقه خارنگون، در گذر آنها با دولومیت‌ها کانی‌سازی روی اتفاق افتاده است (حاج ملاعلی، ۱۳۹۱).

۴- سنگ‌شناسی و کانی‌شناسی

نتایج مطالعه مقاطع نازک‌شان می‌دهد که سنگ‌های محدوده مورد بررسی از نوع رسوبی و آذرین هستند. سنگ‌های آذرین این محدوده عبارتند از توف‌های ماسه‌ای و توف‌های اسیدی با ترکیب ریولیتی. سنگ‌های رسوبی نیز شامل ماسه سنگ‌های گری و کی، کنگلومرا، سنگ‌آهک و دولومیت (سنگ‌آهک دولومیتی شده) هستند (شکل ۵). بر اساس نتایج تجزیه XRD (جدول ۱) کانی‌های کوارتز، دولومیت، کلسیت و زپیس، و به مقدار کمتری میکا، به ترتیب مهم‌ترین کانی‌های گانگ تشکیل دهنده نمونه‌های برداشت شده از این منطقه هستند. اسمیت‌زونیت ($ZnCO_3$) و همی‌مورفیت ($Zn_4Si_2O_7(OH)_2 \cdot H_2O$) نیز مهم‌ترین کانه‌های روی‌دار موجود در این سنگ‌ها هستند، مقدار این کانه‌ها در برخی از نمونه‌های منطقه بسیار چشمگیر است. به گونه‌ای که در تعداد محدودی از نمونه‌ها این دو کانه به عنوان اصلی‌ترین فاز تشکیل دهنده سنگ معرفی شده‌اند (جدول ۱). در برخی نمونه‌ها، دانه‌های پیریت با بافت غربالی به صورت ریز و درشت قابل مشاهده هستند و در کنار آنها فازی از اسفالولیت کم آهن وجود دارد (شکل ۶). حضور پیریت‌های غربالی و بهویژه اسفالولیت در این نمونه‌ها نشان دهنده حاکم بودن شرایط نزدیک به احیایی و نسبتاً غیراکسیدان در این بخش است. ولی در سطح پیشر مقاطع صیقلی مطالعه شده، دانه‌های شکل دار تانیمه شکل دار پیریت و کالکوپیریت به فراوانی دیده می‌شوند که تحت تأثیر فرایند اکسیداسیون به هیدروکسیدهای آهن نوع گوتیت و لیپیدوکروزیت تبدیل شده‌اند. در پیشر نمونه‌ها، دگرسانی در حدی بوده که فقط آثاری از سولفیدهای اولیه، به عنوان بافت باقیمانده برای مانده است که با قدرت بازتابش بالا از بخش هیدروکسیدی قابل تفکیک است (شکل ۷). این دانه‌ها معمولاً در متی رنگین (قهقهه‌ای تا سبزرنگ) قرار گرفته‌اند که این متن می‌تواند توجیه کننده کانی‌های غیرسولفیدی روی از جمله اسمیت‌زونیت و همی‌مورفیت باشد. اگرچه این کانی‌ها به دلیل نداشتن جلای فلزی و در نتیجه عدم انعکاس نور از خود، در سطح مقاطع صیقلی قابل مشاهده نیستند ولی در نتایج تجزیه XRD گزارش شده‌اند (جدول ۱).

در نتایج تجزیه فلوروسانس اشعه ایکس (XRF) میزان روی در برخی واحداً تا ۳۶٪ درصد گزارش شده است (جدول ۲) که از لحاظ اقتصادی بسیار حائز اهمیت است. سرب و روی در پیشر ذخایر، ارتباط پاراژنیکی باهم دارند، ولی مقادیر گزارش شده سرب در نمونه‌های این منطقه ناچیز است ($PbO < 0.15$ درصد) (جدول ۲) که این امر ممکن است به دلیل تحرک پذیری کمتر Pb نسبت به Zn باقی ماندن این عنصر در نزدیکی پرتویت سولفیدی باشد.

تشکیل کانی‌های غیرسولفیدی روی در این منطقه پیشر در مسیر لایه‌بندی و لامیناسیون‌های سنگ‌های کربناتی و گاهی ماسه سنگ‌ها و به صورت جانشینی و شکافه پرکن در زون بروزنزاد صورت گرفته است (شکل‌های ۸ و ۹). کانه‌های زون بروزنزاد شامل سیلیکات و کربنات روی و اکسیدها و هیدروکسیدهای آهن است که حضور آنها چهره‌ای لیموئیتی تا سرخ-قهقهه‌ای را به سنگ‌های منطقه داده است. از دیگر کانه‌های موجود در زون سوپرژن می‌توان به هیدروکربنات مس (مالاکیت) (شکل ۱۰) اشاره کرد که در بخش‌هایی از منطقه، درون واحدهای کربناتی شکل گرفته است. در برخی واحدهای نیز آغشته‌گاهی منگنز قابل مشاهده است (شکل ۱۱).

۵- دگرانی

رخ دادن فرایندهای مختلف زمین‌ساختی و گرمابی در این منطقه سبب ایجاد

در مجموع، از ۲۴ نقطه مختلف نمونه برداری به عمل آمد که از آن میان، ۲۱ نمونه به منظور مطالعات سنگ‌شناسی و ۱۷ نمونه به منظور مطالعات کانه‌نگاری، برای تهیه مقاطع نازک و صیقلی در نظر گرفته شد. ۱۹ نمونه برای انجام تجزیه کانی‌شناسی به روش پراش سنجی پرتو ایکس (XRD) و ۲۰ نمونه نیز برای تجزیه شیمیابی به روش طیف سنجی فلوروسانس پرتو ایکس (XRF) به آزمایشگاه‌های سازمان زمین‌شناسی و اکتشافات معدنی کشور ارسال شد. برای مطالعه میانبارهای سیال نیز تعداد ۵ مقطع دویز صیقل از نمونه‌های مناسب تهیه شد و در آزمایشگاه مطالعات میکروتروموتری سازمان زمین‌شناسی و اکتشافات معدنی کشور مورد مطالعه قرار گرفت.

۳- زمین‌شناسی

از دیدگاه زمین‌ساختاری، منطقه مورد بررسی بر اساس تقسیم‌بندی (Stocklin 1968) در پهنه ایران مرکزی و در مز جنوبی بلوک بافق-پشت بادام قرار دارد (شکل ۲) و بخشی از ورقه زمین‌شناسی ۱:۱۰۰۰۰۰ به اسفوردی را دربر می‌گیرد. منطقه فلز‌زایی بافق که در بخش خاوری زون ایران مرکزی قرار دارد. یکی از مهم‌ترین مناطق معدنی ایران بشمار می‌آید و به دلیل اهمیت فلز‌زایی این منطقه، تا کنون مطالعات زیادی روی آن صورت گرفته است. از جمله متابع معدنی این ناحیه می‌توان مهم‌ترین ذخایر آهن ایران (شامل کاشتارهای ساغند، سه چاهون، چغارت و ...) به همراه فسفات و اورانیوم و همچنین کاشتارهای سولفیدی سرب و روی مانند کانسار کوشک، زریگان، دوزرد آلو... را نام برد (قریانی، ۱۳۸۱).

بر اساس نقشه ۱:۱۰۰۰۰۰ اسفوردی (سهیلی و مهدوی، ۱۳۷۰)، قدیمی‌ترین سنگ‌های محدوده تحت پوشش این ورقه مربوط به پرکامبرین هستند که شامل مجموعه‌ای از سنگ‌های دگرگونه شیست، گنایس، مرمر و آمفیبولیت هستند. قدیمی‌ترین واحدهای رسوبی موجود در منطقه، ترادفی از شیل و ماسه سنگ‌اسلیتی و فیلیتی (سازند تاشک) است که بطور ناعم‌ساز توسط نهشته‌های کربناتی-آواری-آشفشانی مربوط به پرکامبرین-کامبرین زیرین (سری ریزو) پوشیده شده است. در بخش مرکزی ورقه اسفوردی که منطقه خارنگون نیز در این محدوده قرار می‌گیرد، همه واحدهای سنگی قدیمی به صورت نابرجا در کنار دیگر واحدها قرار گرفته‌اند. قدیمی‌ترین سنگ‌های منطقه، به سن پرکامبرین، با همی‌گسل در کنار واحدهای سنگی کامبرین جای گرفته‌اند و هیچ گونه آثاری از واحدهای سنگی مربوط به پالوزوییک بالایی و مژوزوییک در این منطقه مشاهده نشده است، دوران سنوزوییک نیز در این منطقه تنها شامل نهشته‌های مربوط به زمان کواترنری است (سهیلی و مهدوی، ۱۳۷۰). کالبد عمومی منطقه دربرگیرنده کانه‌زایی زون خارنگون را شیل، ماسه‌سنگ، سیلت سنگ، ماسه‌سنگ آهکی با چهره خاکستری تا خاکستری مایل به سبز، با ریختار تپه ماهوری و با سطوح فرایشی صاف تشکیل می‌دهد. واحدهای کربناتی اعم از تیره و روش، بانوارها و گرهک‌های چرت همراه بوده و غالباً بخش ارتفاعات را به خود اختصاص می‌دهند. ترکیب سنگ شناختی آنها از دولومیت چرت‌دار روشن رنگ تا دولومیت‌های تیره رنگ بدبو متغیر است. این سنگ‌ها غالباً توده‌ای تا ستبر لایه بوده ولی گاهی به صورت سنگ‌آهک شیلی نیز ظاهر می‌گردد که می‌توان نام سنگ‌آهک بسیار نازک لایه دارای شیسته‌زیسته (کالک شیست) را به آن اطلاق کرد. مجموعه‌های اخیر در منطقه خارنگون توسط رسوبات وابسته به سازند ریزو شامل ریولیت، توف با ترکیب ریولیتی، سنگ‌آهک و دولومیت به سن پرکامبرین بالایی-کامبرین زیرین پوشیده می‌شود (حاج ملاعلی، ۱۳۹۱) که این رسوبات نقش سنگ میزبان نهشته غیرسولفیدی روی را ایفا می‌کنند (شکل ۳).

زمین‌ساخت چیره در منطقه را گسل‌های بزرگ با راستای شمالی-جنوبی که گاهی کمی به سوی باخته تمایل دارند تشکیل می‌دهد. همان گونه که در نقشه زمین‌شناسی منطقه (شکل ۴) دیده می‌شود، عملکرد آنها به صورت معکوس است به گونه‌ای که واحدهای کربناتی تیره‌رنگ به صورت بریده بر روی یکدیگر

در نمونه‌های مطالعه شده میزان شوری و دانسیته توسط نرم افزار مدلینگ PVTX شرکت Linkam محاسبه شده و اطلاعات به دست آمده به صورت هیستوگرام فراوانی رائمه شده است (شکل ۲۰). همان‌گونه که در این نمودار قابل مشاهده است، محدوده شوری میان ۰/۲ تا ۲۲ wt% equ. NaCl و ۰/۲ تا ۰/۲ wt% equ. NaCl است. در این شکل، دو جمعیت از میانبارها مربوط به میانوارهایی با شوری ۰/۲ تا ۱۰/۰ دیگری میانوارهایی با شوری ۱۲/۰ تا ۲۲/۰ که این مساله می‌تواند گویای کانی‌سازی در دو مرحله توسط دو سیال با شوری متفاوت است.

طی عملیات گرمایش، که به منظور تعیین درجه حرارت تشکیل کانی‌ها صورت می‌گیرد، مشاهده شد که همگن شدگی فازهای تشکیل دهنده میانبارهای دوفازی (L+V) در مورد بیشتر نمونه‌ها با تبدیل فاز بخار به مایع، و در نمونه‌های دارای بخار بالا، با تبدیل مایع به بخار صورت گرفت که نتایج حاصل در شکل ۲۱ در قالب هیستوگرام دمای همگن شدگی ارائه شده است. در این نمودار گروه‌های دمایی متغیری از ۱۱۳ تا ۴۲۳ درجه سانتی‌گراد قابل مشاهده است و بیشترین فراوانی همگن شدگی دمایی مربوط به محدوده دمایی ۱۵۳–۱۷۳ درجه سانتی‌گراد است. این پنهان به نسبت گسترده پراکندگی داده‌های شوری و دمای همگن شدگی، همان‌گونه که در شکل شماره ۲۲ قابل مشاهده است، می‌تواند به دلیل رخداد اختلاط سیالی به وجود آمده باشد. حضور میانبارهای سیال از هر دو نوع تک فازه (L) و دو فازه (V+L) در نمونه‌ها نیز می‌تواند مؤید احتمال رخداد اختلاط سیالی بوده و یا این که نتیجه تراوش از برخی میانبارها باشد.

داده‌های مربوط به دمای همگن شدگی در همراهی با داده‌های مربوط به شوری، چگالی سیال را تقریباً در موقع به دام افتادن آن مشخص می‌کنند. با استفاده از این داده‌ها تغییرات چگالی سیال در این میانبارها از حدود ۰/۷ تا نزدیک به ۱/۱ g/cm³ تعیین شد که در این گستره، پرجمعیت ترین گروه میانبارهای مطالعه شده با فراوانی ۱۵ نمونه، در محدوده چگالی ۰/۹۶–۰/۹۹ g/cm³ قرار می‌گیرند (شکل ۲۳).

میزان کاهش نقطه انجماد سیال آبگین (T_m) نشانگر درصد تمکز مواد محلول در سیال است. بر این اساس می‌توان نتیجه گرفت که کاتیون‌های اصلی موجود در ترکیب سیال کانه‌ساز در این منطقه احتمالاً Na⁺, K⁺ و Ca²⁺ بوده‌اند. شوری متواتر تا پایین این سیال‌های نشان از شرایط حمل توسط یک محلول کلریدی است و از طرفی حضور Ζ-پیس در مجموعه کانی‌ها (بر اساس نتایج تجزیه XRD) (XRD) بیانگر نقش SO₄²⁻ و وجود سیلیکات‌ها و کربنات‌های روی گویای نقش آنیون‌های Cl⁻ و HCO³⁻ به عنوان لیگاند‌های اصلی حمل کننده فلاتز بوده‌اند.

با استناد به داده‌های دمای همگن شدگی و شوری میانبارهای سیال می‌توان این گونه استباط کرد که میترالیزاسیون در زون خارنگون احتمالاً در نتیجه اختلاط حداقل دو سیال متمایز (یک سیال شور و گرم تا داغ با یک سیال سردتر و با شوری کمتر) صورت گرفته است. این سیال‌ها در حقیقت آب‌های جوی بوده‌اند که پس از نفوذ به اعمق مختلف پوسته، در نواحی با فوپذیری پوسته‌ای و جریان گرمایی بالا چرخش یافته و درجه حرارت و شوری آنها دچار تغییر شده است.

در نهایت، به منظور تعیین نوع ذخیره داده‌های دمای همگن شدگی و شوری معادل درصد و وزنی نمک طعام، که دو پارامتر اساسی در آزمایشات میکروترموتری هستند، با دیاگرام (Wilkinson 2001) (شکل ۲۴) انطباق داده شد. در این نمودار رده‌های اصلی ذخایر معدنی محدوده‌هایی را در فضای دمای همگن شدگی - شوری اشغال می‌کنند که نشانگر ویژگی‌های اساسی سیال‌هایی است که در تشکیل آنها دخیل بوده‌اند و تماماً در میان منحنی اشباع هالیست و منحنی بحرانی برای محلول NaCl خالص محصر شده‌اند. نتایج حاصل از این تطابق، همان‌گونه که در شکل ۲۴ نیز قابل مشاهده است، گویای شباهت نهشته زون خارنگون به ذخایر اپی ترمال است.

دگرسانی در سنگ‌ها شده که بی‌آمد آن ایجاد رنگ‌های مختلفی است که نظر هر بیننده‌ای را به خود جلب می‌نماید (شکل ۱۵). دگرسانی گرمایی سبب شده است که سیال‌های گرمایی در حین واکنش با کانی‌های سولفیدی دیاژنتیک، از آهن غنی شده و در ضمن واکنش با سنگ میزان کربناتی، در محلهای دگرسان شده مقدار زیادی اکسید آهن به سنگ اضافه نموده‌اند که سبب ایجاد رنگ‌های سرخ- قهوه‌ای تا لیمویی در منطقه شده است.

فرایندهای زمین‌ساختی نیز با ایجاد درز و شکاف در سنگ‌ها، آنها را برای انجام فرایندهای دگرسانی مستعدتر کرده‌اند. این شکاف‌ها بیشتر توسط کربنات‌ها و گاهی توسط سیلیس پر شده و رگجه‌های کربناتی و سیلیسی را به وجود آورده‌اند. وجود این رگجه‌ها گویای وجود یک سیال ثانویه با محتوای بالای کلسیم و سیلیس به محیط است، تشکیل سریسیت در فضاهای خالی برخی نمونه‌ها نیز نشانگر حضور کاتیون‌های K⁺ و Mg²⁺ در سیال است.

از دیگر عملکردهای این فرایندها در سنگ‌های منطقه تبلور دوباره سنگ آهک‌ها و دولومیتی شدن آنهاست. تشکیل سیلیس به صورت باندهای چرت در درون دولومیت‌ها می‌تواند گویای همزمان بودن دگرسانی‌های سیلیسی و دولومیتی باشد. وجود باندهای چرت در درون دولومیت‌ها بیان گر ورود یک سیال پر سیلیس به درون سنگ‌های منطقه است و این محلول احتمالاً ترکیب میانبارهای سیال اولیه و ثانویه‌ی کاذب، که برای مطالعه میانبارهای سیال موردن استفاده قرار گرفته‌اند را تشکیل می‌دهد. این سیال احتمالاً یک سیال اکسیدان و با ترکیب مشابه آب دریا بوده که وجود یون Mg²⁺ در آن سبب دگرسانی آهک‌های منطقه به دولومیت شده است. در این منطقه، دگرسانی سنگ میزان آهکی به دولومیت گرمایی پیش از کانه‌زاری اتفاق افتاده است.

به طور کلی می‌توان گفت دولومیتی شدن (شکل ۱۲)، سیلیسی شدن (شکل ۱۳)، سریسیتی شدن (شکل ۱۴) و افزایش اکسیدهای آهن و منگنز به سنگ مهم ترین دگرسانی‌های تشخیص داده شده در این منطقه هستند.

۶- مطالعه میانبارهای سیال

مطالعات سنگ‌نگاری و حرارت سنجی میانبارهای سیال در نمونه‌های برداشت شده از منطقه خارنگون روی کانی‌های کوارتز و کلسیت صورت گرفته است. بر اساس این مطالعات، هر سه نوع میانبارهای اولیه (P)، ثانویه (S) و ثانویه کاذب (PS) مشاهده می‌شود. سیال تشکیل دهنده هر دو تیپ P و PS یکسان است ولی ترکیب سیال تشکیل دهنده میانبارهای ثانویه (S) متفاوت است. میانبارهای استفاده شده از مطالعات حرارت سنجی، از نوع میانبارهای سیال اولیه و ثانویه کاذب انتخاب شده‌اند.

بر اساس فازهای تشکیل دهنده نیز ۵ تیپ میانبار سیال شامل: ۱) دو فازه گاز- مایع (V+L)، ۲) دو فازه مایع - گاز (L+V)، ۳) دو فازه گاز + مایع دارای CO₂ (شکل ۱۹)، ۴) دو فازه مایع + گاز دارای CO₂ و ۵) تک فازه مایع (L)، در نمونه‌های مربوط به این منطقه وجود دارند که در این میان، میانبارهای نوع مایع - گاز (شکل ۱۶) و میانبارهای تک فازه مایع (شکل ۱۷) از فراوانی بیشتری در نمونه‌ها برخوردار هستند.

در اندازه گیری‌های حرارت سنجی انجام شده، بیشتر میانبارهای دوفازه مایع- گاز و دو فازه مایع + گاز دارای CO₂ (شکل ۱۸) مورد استفاده قرار گرفته‌اند. اندازه گیری‌های انجام شده برای تیپ ۱ و ۳ به دلیل کمتر بودن میزان مشاهده شده کمتر است و در میانبارهای سیال تک فازه (L) نیز امکان اندازه گیری وجود ندارد. طی عملیات سرمایش، دمای ذوب آخرین بلورهای بین (T_m) در این میانبارها ۰/۵ تا ۱۷/۵ درجه سانتی گراد تعیین شده که بیشترین تعداد نمونه‌ها در این محدوده دمایی، مربوط به نمونه‌هایی است که در گروه دمایی ۰/۵ تا ۱/۵ درجه سانتی گراد قرار می‌گیرند. از این دما می‌توان به مقدار شوری و چگالی سیال پی برد.

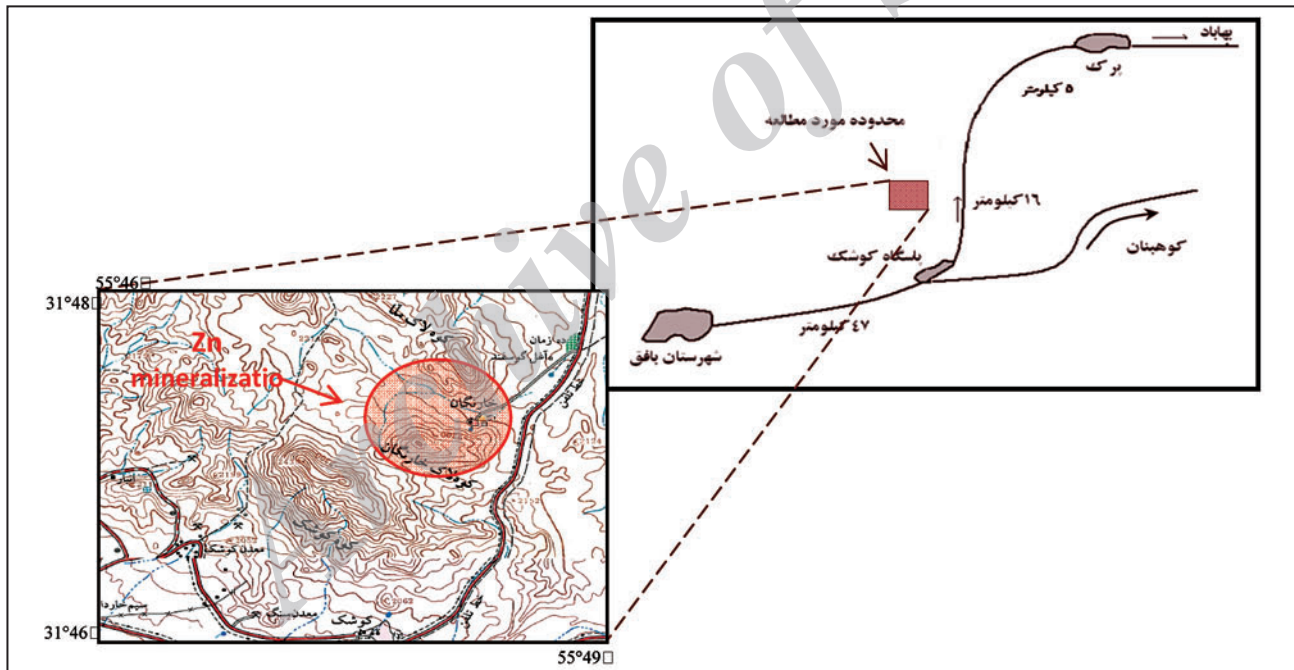
۷- نتیجه‌گیری

شدن سولفات روی به ترکیبات سیلیکاتی سنگ میزان، همی‌مورفت نیز جایگزین این ترکیبات شده است.

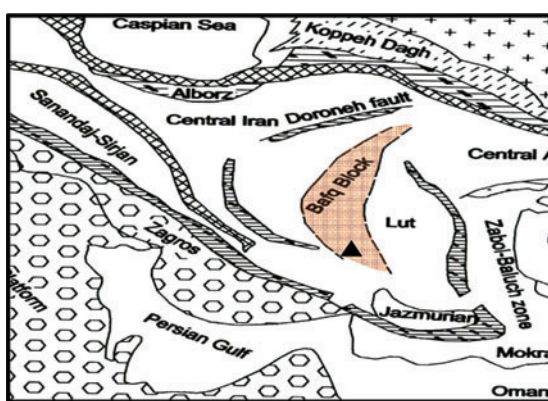
به نظر می‌رسد که کانه‌زایی زون خارنگون در زمرة نهشته‌های غیرسولفیدی برونداد روى از نوع جانشينی در سنگ دیواره و به مقدار کمتری جانشينی مستقیم قرار می‌گيرد که ماده معدنی آن به صورت غیرهمزاد و به شکل چينه کران در راستای لایه‌های سنگ آهکی بافت و ساخت لامینه‌ای تشکيل شده است.

حاکم بودن شرایطی مانند وجود توالی‌های کربناتی، نبود یا عدم تأثیر توده‌های آذرین و وجود گسل‌های کنترل کننده در منطقه می‌تواند بیانگر این موضوع است که توده‌ی سولفیدی روی دار اولیه در شرایطی مشابه با کانسراهای تیپ دره می‌سی‌سی‌بی (MVT) شکل گرفته است (مشابه بسیاری از کانسراهای غیرسولفیدی سرب و روی استان یزد مانند طرز، گوچر، کارونگاه، په سرخ، آب حیدر، سنجدو، کوه قلعه، تاجکوه، کیچگرکوه و بنهانار). اما از سویی دیگر با توجه به حضور هیدروکربنات مس و آغشتنگی‌های منگنز در سنگ‌های منطقه و همچنین وجود ذخیره ماسیوسولفیدی پراهمیتی چون کانسرا سرب و روی کوشک در فاصله ۵ کیلومتری این نهشته احتمال سولفید توده‌ای بودن نهشته‌ی اولیه نیز دور از انتظار نیست.

مراحل تشکیل نهشته غیرسولفیدی زون خارنگون را که به میزانی واحدهای سنگ‌آهکی و دولومیتی متعلق به سازند ریزو (براساس نقشه ۱:۵۰۰۰) به سن پر کامبرین بالایی - کامبرین زیرین تشکیل شده است، می‌توان این گونه تفسیر کرد که پس از تشکیل یک ذخیره سولفیدی اولیه تحت شرایط احیایی، این نهشته که دارای اسفالریت و مقادیری سولفیدهای آهن از قبیل پیریت و کالکوپیریت بوده است، در اثر بالآمدگی زمین‌ساختی و در بی آن، افت سطح آب‌های زیرزمینی منطقه، در معرض هوازدگی و شرایط اکسیدان سطحی قرار گرفته، سیال‌های جوی به درون آن نفوذ کرده و با کانی‌های سولفیدی وارد واکنش شده‌اند. اکسیداسیون کانی‌های سولفیدی آهن سبب بر جاگذاری هیدروکسید آهن نوع گوتیت و لپیدوکروزیت و تشکیل اسید سولفوریک و سولفات فریک شده است. بواسطه این دو ترکیب، سیال‌های جوی خاصیت اسیدی پیدا کرده و قدرت اتحلال‌شان افزایش می‌یابد. این محلول اسیدی و اکسیدان سبب اتحلال دیگر سولفیدهای فلزی به ویژه اسفالریت، آزاد شدن یون‌های فلزی از قبیل Zn و انتقال آنها شده است. محلول اکسیدان اسیدی Zn دار سپس وارد واحدهای سنگ آهکی شده و ضمن واکنش با ترکیبات کربناتی سنگ میزان، در راستای لایه‌بندی و لامیناسیون‌ها، سولفات‌روی جانشین کلسیت و دولومیت شده و اسمیت زونیت تشکیل شده است. همچنین، با وارد



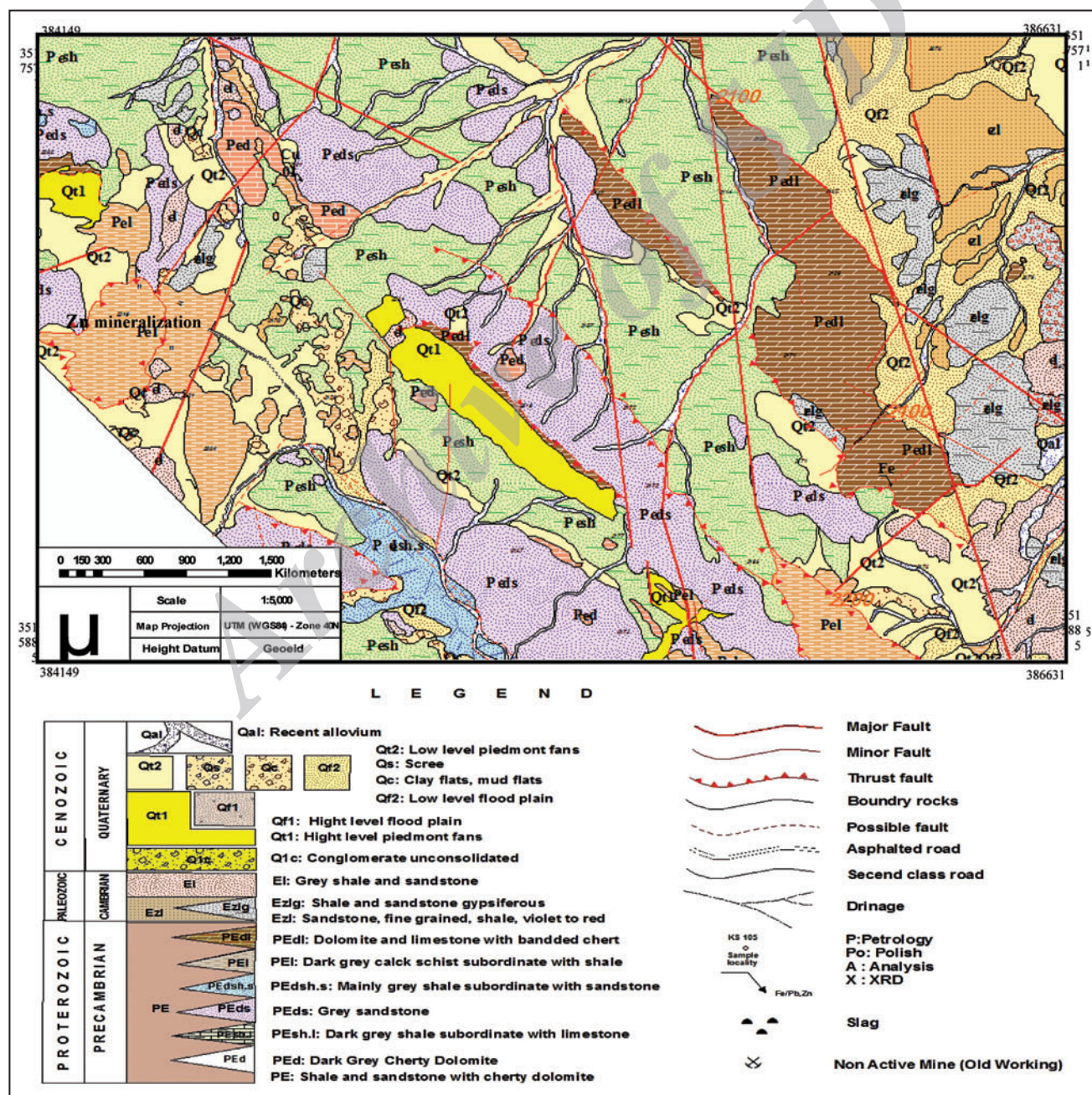
شکل ۱- موقعیت جغرافیایی و راه‌های دسترسی به محدوده منطقه مطالعاتی. موقعیت دقیق منطقه خارنگون بر روی نقشه توپوگرافی (۱:۵۰۰۰۰؛ احمدآباد و شیطور) مشخص شده است.



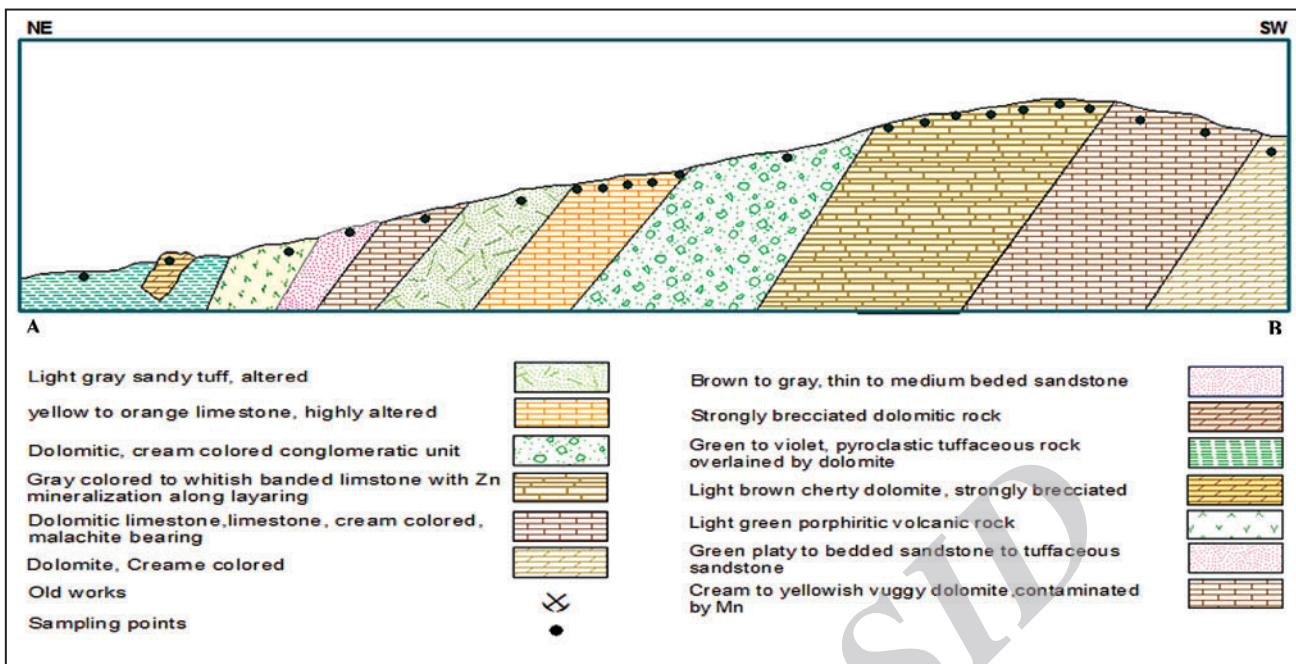
شکل ۲- موقعیت بلوک بافق- پشت بادام در ایران (این بلوک با رنگ تیره‌تر از دیگر پهنه‌ها متمایز شده است) و موقعیت منطقه خارنگون در بلوک بافق- پشت بادام (با علامت مثلث مشخص شده) (برگرفته از قربانی، ۱۳۸۱).



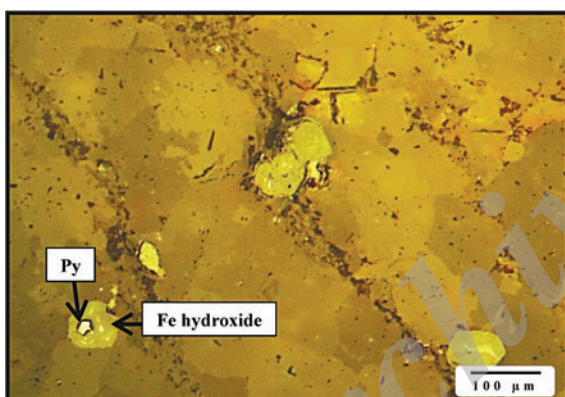
شکل ۳- رسوبات آهکی، دولومیتی و آهک ماسه‌ای وابسته به سازند ریزو به سن پر کامبرین بالای- کامبرین زیرین که در بردارندهٔ کانه‌زایی زون خارنگون هستند.



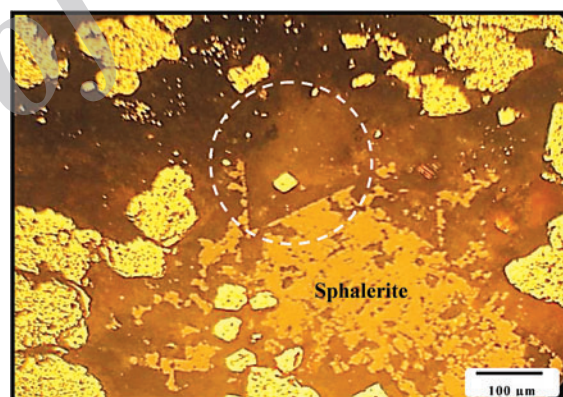
شکل ۴- بخشی از نقشه زمین‌شناسی منطقه فرک با مقیاس ۱:۵۰۰۰ که در بردارندهٔ زون میزالیزه خارنگون است (برگرفته از حاج ملاعلی، ۱۳۹۱).



شکل ۵- مقطع عرضی تهیه شده از واحدهای سنگی مورد مطالعه در منطقه خازنگون، طی بروفل A-B با روند شمال خاوری به جنوب باختزی.



شکل ۷- دانه‌های پیریت که در اثر اکسیداسیون دچار واپاشی شده و به هیدروکسید آهن تبدیل شده‌اند. قطعاتی از پیریت اولیه در میان هیدروکسیدهای آهن باقی مانده است (نور (PPL).



شکل ۶- پراکندگی دانه‌های غربالی پیریت در اطراف بلور خاکستری رنگ اسفالریت. تشکیل بلور رومیک کربنات روی (که با دایره تفکیک شده است) در حاشیه اسفالریت نشان‌دهنده نزدیک شدن شرایط محیطی به شرایط اکسیدان است (نور (XPL).



شکل ۹- نمایی نزدیک از کانی سازی غیرسولفیدی روی (به رنگ سفید) در مسیر لایه‌بندی سنگ‌های کربناتی.



شکل ۸- نمایی از لایه بندی و آغشتنگی به هیدروکسیدهای آهن در واحد سنگ آهکی.



شکل ۱۱- تصویری از آغشته‌گاهی سیاهرنگ منگتر در سطح سنگ دولومیتی کرم رنگ متعلق به منطقه خارنگون.



شکل ۱۰- کانی سبز رنگ مالاکیت در سطح مقطع صیقلی تهیه شده از سنگ آهک‌های دولومیتی منطقه خارنگون (نور XPL).



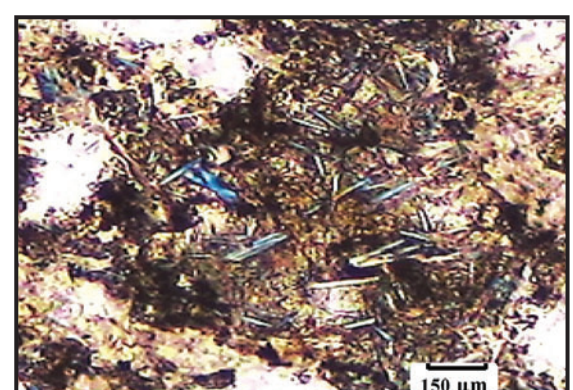
شکل ۱۳- سیلیسی شدن سنگ در اثر اضافه شدن SiO_2 به آن توسط محلول‌های گرمابی (نور XPL).



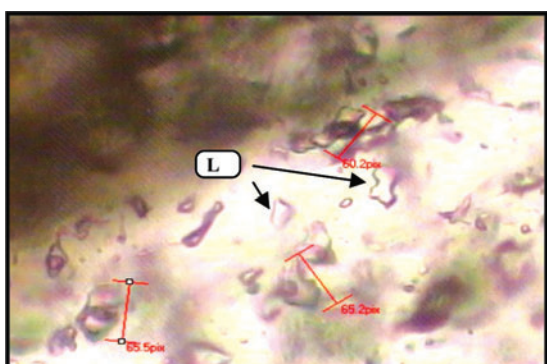
شکل ۱۲- دولومیتی شدن سنگ آهک نشان دهنده ورود محلول‌های غنی از یون Mg^{2+} به درون سنگ‌های منطقه است (نور XPL).



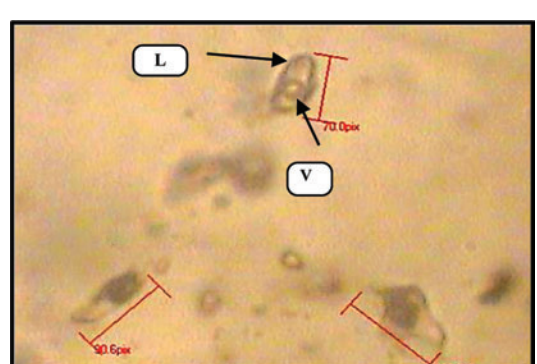
شکل ۱۵- بروز طیف رنگ‌های زرد تا نزدیک به سرخ در سنگ‌های منطقه خارنگون به دلیل حضور اکسیدهای آهن.



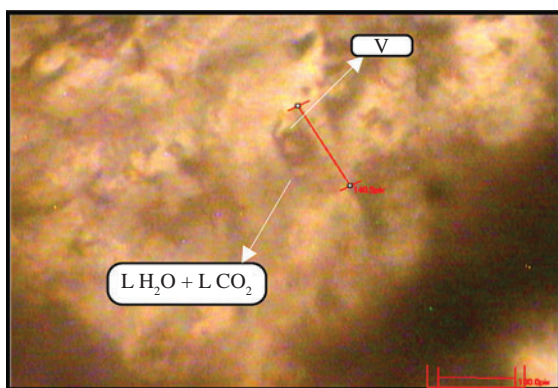
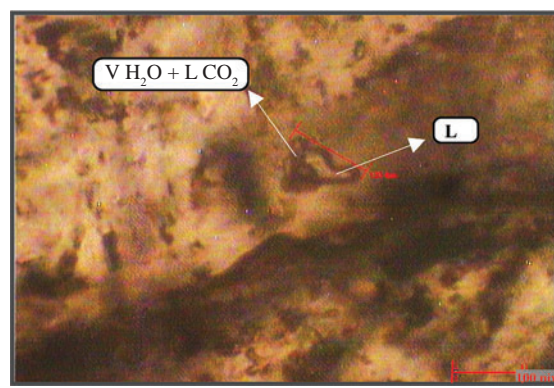
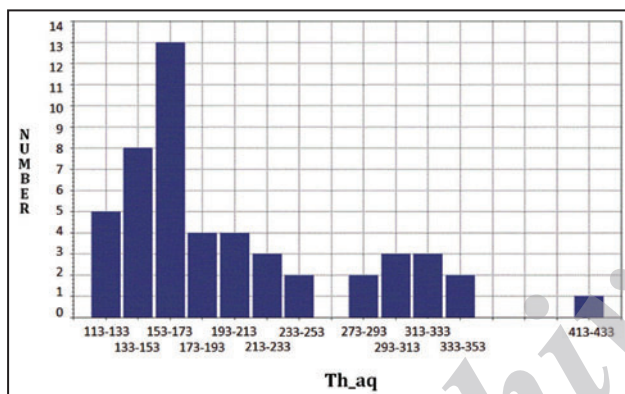
شکل ۱۴- سرسیستی شدن زمینه ماسه سنگ آهکی در اثر ورود محلول‌های اسیدی (نور XPL).



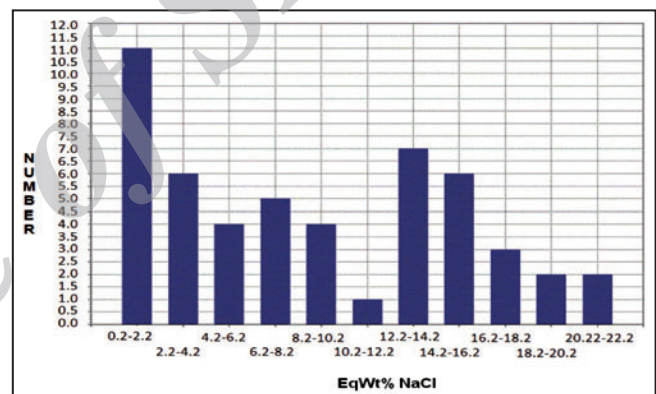
شکل ۱۷- تصویری از میانوارهای سیال دوفازه گاز- مایع و میانوارهای سیال تک فازه مایع.



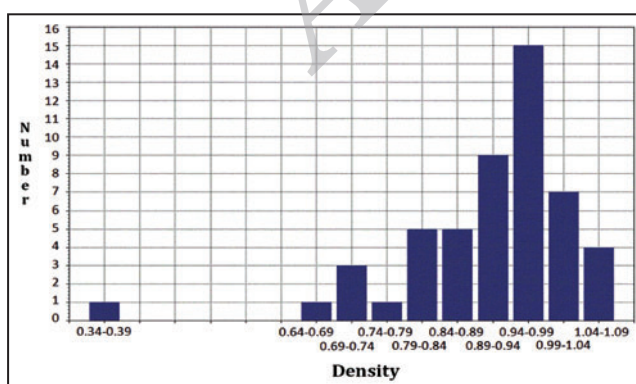
شکل ۱۶- میانوارهای سیال حاوی فاز مایع همراه با حباب گازی.

شکل ۱۹- سیال‌های گازی همراه با مایع دارای CO_2 .شکل ۱۸- سیال‌های دارای فاز مایع همراه با فاز جب‌گاز که بیشترین حجم جب‌گاز توسط CO_2 پر شده است.

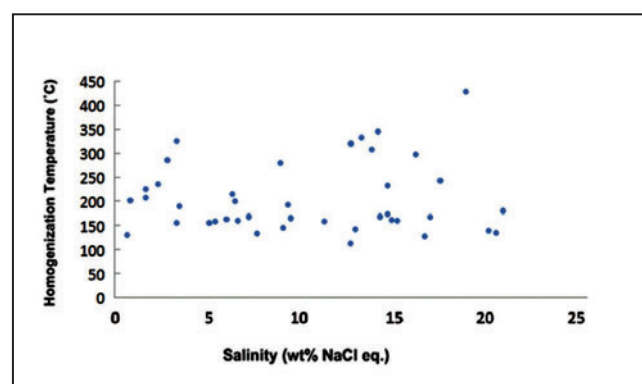
شکل ۲۱- نمودار ستونی دمای همگن شدگی میان بارهای سیال منطقه خارنگون (Th).



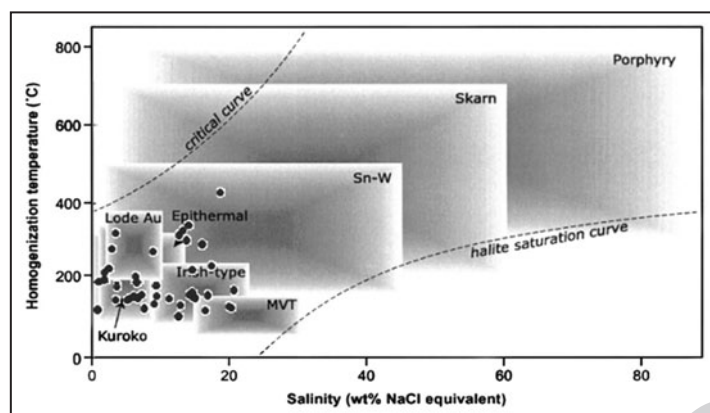
شکل ۲۰- میزان شوری میان بارهای سیال منطقه خارنگون.



شکل ۲۳- نمودار ستونی چگالی میان بارهای سیال منطقه خارنگون.



شکل ۲۲- نمودار پراکندگی میانپارهای سیال منطقه خارنگون بر اساس میزان شوری و دمای همگن شدگی.



شکل ۲۴- دیاگرام دمای همگن شدگی - شوری نشان دهنده محدوده های تپیک سیال های تپهای مختلف کانسارها (Wilkinson, 2001). در این دیاگرام نمونه های منطقه خارنگون در محدوده سیال های تشکیل دهنده ذخایر اپی ترمال قرار می گیرند.

جدول ۱- نتایج تجزیه XRD نمونه های برداشت شده از منطقه خارنگون.

FIELD NO.	XRD RESULTS												FIELD NO.	XRD RESULTS												
2	Dolomite + Calcite + Quartz + Smithsonite(minor)												17	Smithsonite + Dolomite + Calcite												
4	Dolomite + Quartz												18	Calcite + Quartz												
7	Dolomite + Calcite + Quartz												19	Calcite + Dolomite + Hemimorphite												
8	Quartz + Dolomite + Mica(minor)												20	Dolomite + Calcite												
9	Quartz + Dolomite + Gypsum + Mica												21	Dolomite + Quartz												
10	Quartz + Gypsum + Goethite												22	Dolomite + Quartz(minor) + Calcite(minor)												
11	Quartz + Gypsum												23	Dolomite + Quartz + mica(minor)												
12	Quartz + Dolomite												24	Dolomite + Quartz												
13	Gypsum + Dolomite + Calcite + Quartz												25	Dolomite + Quartz + Calcite												
16	Hemimorphte + Dolomite + Smithsonite + Quartz																									

جدول ۲- نتایج تجزیه XRF برای برخی از اکسیدهای مهم در نمونه های برداشت شده از منطقه خارنگون.

S.N formula	1 (%)	5 (%)	7 (%)	8 (%)	9 (%)	10 (%)	11 (%)	12 (%)	13 (%)	15 (%)	16 (%)	17 (%)	18 (%)	19 (%)	20 (%)	21 (%)	22 (%)	23 (%)	24 (%)	25 (%)
Fe₂O₃	2.89	2.36	7.08	9.66	7.81	9.74	8.97	9.66	6.23	1.59	0.74	0.93	0.56	1.01	1.4	1.45	1.2	3.96	2.68	4.95
MnO	0.1	< .1	1.58	0.91	1.14	< .1	2.26	0.8	< .1	0.35	0.32	0.46	0.11	0.21	0.46	0.65	0.43	0.96	0.67	1.34
TiO₂	0.46	0.35	-	0.41	0.3	0.18	0.22	0.27	-	0.23	< .1	-	< .1	< .1	< .1	-	< .1	0.16	< .1	< .1
CuO	-	-	-	-	-	-	-	< .1	-	-	0.55	0.37	-	0.17	0.4	0.18	< .1	0.38	0.62	0.15
ZnO	0.16	0.11	< .1	0.61	0.42	0.36	1.84	< .1	0.37	0.43	36.06	26.38	0.28	3.96	0.66	0.44	2.78	3.15	0.41	0.54
PbO	-	< .1	-	-	-	< .1	-	-	< .1	0.15	0.14	-	-	-	-	-	< .1	-	-	-
BaO	-	-	0.7	< .1	-	0.21	-	0.66	3.37	< .1	-	< .1	0.28	0.27	0.66	-	< .1	0.43	0.88	-

کتابنگاری

حاج ملاعلی، ا.، ۱۳۹۱- گزارش اکتشاف مواد معدنی در منطقه فرک در مقیاس‌های ۱:۲۰۰۰ و ۱:۵۰۰۰.
سهیلی، م. و مهدوی، م.، ۱۳۷۰- نقشه زمین‌شناسی مقیاس ۱:۱۰۰۰۰ ورقه اسفورده‌ی.
قریانی، م.، ۱۳۸۱- دیباچه‌ای بر زمین‌شناسی اقتصادی ایران؛ دانشگاه فردوسی مشهد.

References

- Hitzman, M. W., 2001- Zinc Oxide and Zinc Silicate Deposits - A New Look [Abs.]. Geological Society of America Annual Meeting, Abstracts with Programs, vol. 33, p. A-336 .
- Hitzman, M. W., Reynolds, N. A., Sangster, D. F., Allen, C. R., Carman, C. E., 2003- Classification, Genesis, and Exploration Guides for Nonsulfide Zinc Deposits. Economic Geology, vol. 98, p. 685-714.
- Holland, H. D., 2005- 100th Anniversary Special Paper: Sedimentary Mineral Deposits and the Evolution of Earth's Near-Surface Environments. Economic Geology, vol. 100, pp.1489-1509 .
- Large, D., 2001- The geology of non-sulphide zinc deposits - An overview. Erzmetall, vol. 54, p. 264-276.
- Kelly, W. C., 1958- Topical study of lead-zinc gossans: State Bureau of Mines and Mineral Resources, New Mexico Institute of Mining and Metallurgy Bulletin 46, 80 p.
- Nuspl, A. , 2009- Genesis of nonsulfide zinc deposits and their future utilization, TU Bergakademie Freiberg, p.1-9.
- Reichert, J. & Borg, G., 2008- Numerical simulation and geochemical model of supergene carbonate-hosted non-sulphide zinc deposits. Ore Geology Reviews vol. 33, p. 134-151.
- Stocklin, J., 1968- Structural History and Tectonics of Iran; A Review, Bull Am. Assoc Petrol. Geol., 52, pp.1229-1258.
- Wilkinson, J. J., 2001- Fluid inclusions in hydrothermal ore deposits, Lithos 55 , p.229-272.